

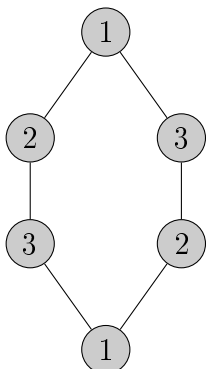
# <sup>1</sup> Kapitola 1

## <sup>2</sup> Speciální instance

<sup>3</sup> V této kapitole se podíváme na omezené instance klastrové rovinnosti. Klastrová  
<sup>4</sup> rovinnost se dá omezit dvěma způsoby. Jednak omezením, jaké grafy budeme  
<sup>5</sup> uvažovat, a jednak omezením klastrové hierarchie. První omezenou třídou  
<sup>6</sup> klastrových grafů jsou kružnice s klastry velikosti 2 a druhou třídou budou  
<sup>7</sup> cesty s klastry velikosti 2. Uvedeme věty o počtu zakázaných minorů.

### <sup>8</sup> 1.1 Kružnice s klastry velikosti 2

<sup>9</sup> Hlavním výsledkem této části je výsledek ukazující, že jediným zakázaným  
<sup>10</sup> minimálním minorem pro kružnice s klastry velikosti 2 je šesticykus se třemi  
<sup>11</sup> klastry, kde se vrcholy střídají v jakém klastru jsou (viz následující obrázek).  
<sup>12</sup> Výsledek je jak pro nakreslenou, tak i nenakreslenou verzi.



Obrázek 1.1: Čísla označují, do jakého klastru vrchol patří. Dále v textu bude tento graf označován jako  $C_6^Z$ , kde Z značí, že se jedná o zakázaný minor

13 **Věta 1.1.** *Instance  $(G, \mathcal{C})$  je klastrově rovinná  $\iff (G, \mathcal{C})$  neobsahuje  $C_6^Z$*   
 14 *jako minor .*

15 Před důkazem věty ukážeme, že  $C_6^Z$  není klastrově rovinný.

16 **Lemma 1.2.**  $C_6^Z$  není klastrově rovinný.

17 *Důkaz.* Důkaz provedeme pro nenakreslenou verzi. Jelikož klastry jsou veli-  
 18 kosti 2, můžeme nahrazovat klastry hranami. Nahrazení všech klastrů hra-  
 19 nami však vede přímo na  $K_{3,3}$ . A protože  $K_{3,3}$  není rovinný graf, tak ne-  
 20 může  $C_6^Z$  klastrově rovinný. Poslední nahrazení klastru hranou tedy nelze  
 21 provést □

22 U kružnice můžou saturátorové hrany vést pouze vnitřkem nebo vnějškem  
 23 (myšleno v nakreslení). Pro dvě hrany ze saturátoru má smysl se bavit o tom,  
 24 zda mohou vést na stejné straně kružnice nebo nikoliv. To nás vede k pojmu  
 25 grafu konfliktů, který reprezentuje konflikty mezi hranami ze saturátoru.

26 **Definice 1.3.** Graf konfliktů je reprezentací konfliktů saturátorových hran,  
 27 kde vrcholy jsou klastry a hrany představují konfliktní klastry. Klastry  $\{x_1, x_2\}$   
 28 a  $\{y_1, y_2\}$  mají spolu konflikt, pokud se na kružnici vyskytují v následujícím  
 29 pořadí  $x_1, \dots, y_1, \dots, x_2, \dots, y_2, \dots$ . Graf konfliktů pro klastrový graf  $(G, \mathcal{C})$  bu-  
 30 deme značit  $GK_{(G, \mathcal{C})}$

31 Získáme ihned kritérium, kdy kružnice s klastry velikosti 2 je klastrově  
 32 rovinný graf. Je to právě tehdy, když graf konfliktů je bipartitní. Dokážeme  
 33 si to jako lemma.

34 **Lemma 1.4.** *Kružnice s klastry velikosti 2 je klastrově rovinná právě tehdy,*  
 35 *když graf konfliktů je bipartitní.*

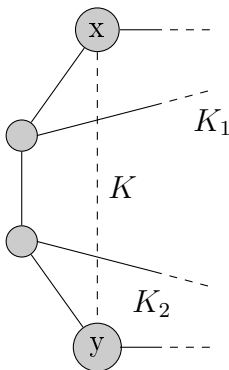
36 *Důkaz.* Klastř, jenž je tvořen sousedními vrcholy, zjevně nemůže být podle  
 37 definice s jiným klastrem v konfliktu. Vrchol příslušného klastru v grafu kon-  
 38 fiktů je izolovaný. Stačí tedy uvažovat, že vrcholy v klastru nejsou soused-  
 39 ními.

40 "  $\implies$  "Místo klastřů uvažujme hrany saturátoru, ty mohou vést buď  
 41 vnitřní stěnou kružnice nebo vnější stěnou kružnice. Hrana v grafu kon-  
 42 fiktů vede mezi jeho vrcholy právě tehdy pokud saturované hrany příslušných  
 43 klastřů vedou různými stěnami. To proto, že podle definice konfliktu, kdyby  
 44 vedly stejnou stěnou, tak by se musely křížit, což by byl spor s tím, že máme  
 45 klastrově nakreslení. Pokud jako partity označíme klastry, jež vedou buď  
 46 vnější stěnou (jedna partita) nebo vnitřní stěnou (druhá partita). Izolované  
 47 vrcholy dáme libovolně někam.

48 Opačná implikace je ten samý argument jen obrácené pořadí.  $\square$

49 Uvedeme ještě jedno lemma, ukazující vztah mezi kružnicí v grafu kon-  
 50 fiktů a odpovídající strukturou v klastrovém grafu.

51 **Lemma 1.5.** *Nechť  $(G, \mathcal{C})$  je klastrový graf,  $G$  je kružnice a  $\mathcal{C}$  má klastry*  
 52 *velikosti 2. Nechť  $Q$  je kružnice v grafu konfliktů  $GK_{(G, \mathcal{C})}$ ,  $K = x, y$  klastř*  
 53 *obsažen v  $Q$ . Nechť  $A, B$  jsou dvě cesty v  $G$  spojující  $x, y$  a nechť  $K_1, K_2$  jsou*  
 54 *sousedě  $K$  v  $Q$ , pak BÚNO jediné dva vrcholy v  $A$  jsou z klastřů  $K_1$  a  $K_2$  (po*  
 55 *jednom vrcholu z každého klastru a zbylé vrcholy leží v  $B$  .*



Obrázek 1.2: Znázornění, čemu odpovídá kružnice v grafu konfliktů. Nalevo od  $K$  je část A, napravo je část B.

56 Struktura v klastrovém grafu, která odpovídá kružnici v grafu konfliktů  
57 se jinými slovy „chová slušně a není divoce rozházená po grafu“.

58 *Důkaz.* Sporem předpokládejme, že v části, kde jsou klastry  $K_1$  a  $K_2$  je ještě  
59 jeden jiný klastř  $K_3$ . Uvažujme procházku z  $K_1$  do  $K_2$  cestou neobsahující  $K$   
60 (tedy přes  $K_3$ ). Prvním krokem se z  $K_1$  dostaneme do druhé části. Po cestě  
61 ale musíme se vrátit zpět do první části kvůli klastřu  $K_3$  pomocí klastřu  $K_i$   
62 dříve než se vrátíme pomocí klastřu  $K_2$ . Klastř  $K_i$  ale musí být v konfliktu  
63 s klastřem  $K$ , což je spor s tím, že  $K$  má jen sousedy  $K_1$  a  $K_2$ ,  $K_i$  by podle  
64 všeho též musel být sousedem  $K$ .  $\square$

65 **Tvrzení 1.6.** *Graf konfliktů obsahuje lichou kružnici  $\implies$  instance  $(G, C)$*   
66 *obsahuje zakázaný minor  $C_6^Z$ .*

67 *Důkaz.* Důkaz indukci podle velikosti liché kružnice. V základu indukce uká-  
68 žeme, že liché kružnici velikosti 3 v grafu konfliktů odpovídá  $C_6^Z$  a v indukč-  
69 ním kroku, pak pomocí minorových operací zredukujeme velikost podgrafu  
70 odpovídající liché kružnici o dva klastry.

71 Základ indukce: Mějme trojcyklus v grafu konfliktů. Mějme příslušné  
72 klastry  $\{x_1, x_2\}, \{y_1, y_2\}, \{z_1, z_2\}$  Podle definice konfliktů máme následující  
73 pořadí vrcholů:

74 Podle konfliktu klastřů  $\{x_1, x_2\}, \{y_1, y_2\}$  je pořadí  $x_1, y_1, x_2, y_2$ .

75 Podle konfliktu klastřů  $\{y_1, y_2\}, \{z_1, z_2\}$  je pořadí  $y_1, z_1, y_2, z_2$ .

76 Podle konfliktu klastřů  $\{x_1, x_2\}, \{z_1, z_2\}$  je pořadí  $x_1, z_1, x_2, z_2$ .

77 Dohromady máme pořadí  $x_1, y_1, z_1, x_2, y_2, z_2$ , což je  $C_6^Z$ . Základ indukce  
78 je tedy dokázán.

79 Nyní předpokládejme, že chceme dokázat tvrzení pro lichou kružnici ve-  
80 likosti  $k$ , a že tvrzení platí pro kružnici o 2 menší.

81 Indukční krok: Podle lematu 1.3 máme v  $(G, C)$  strukturu konfliktních  
82 klastřů odpovídající liché kružnici v grafu konfliktů. Předpokládejme, že jsme  
83 si  $(G, C)$  zjednodušili pomocí minorových operací tak, že nemáme nic jiného  
84 než klastry získané z liché kružnice v grafu konfliktů. Provedeme následující  
85 posloupnost minorových operací. Vezměme předělový klastř  $K$ . Klastry jenž  
86 jsou s ním v konfliktu můžeme sjednodit (ubyl jeden klastř). V části, kde měli  
87 vrchol jen oni, tak sdílejí hranu, tu můžeme po provedení sjednocení zkontra-  
88 hovat. Vrchol vzniklý kontrakcí odebereme. Nyní se nám kružnice přerušila.  
89 Přes rozdělení nám vede klastř  $K$ , pro nějž máme jedinou možnost, jak jej  
90 nahradit hranou, tak to učiníme (jinými slovy, je to korektní i v nakreslené  
91 verzi). Tuto hranu můžeme rovnou zkontrahovat a vzniklý vrchol přidáme

do jednoho z klastrů (opět sjednocení klastrů a ubytí druhého klastru), které s ním mají sousední vrchol. Hranu, která jej spojovala se sousedem zkontrahujeme. Vzniklému klastrovému grafu  $(G', \mathcal{C}')$  odpovídá v grafu konfliktů lichá kružnice o velikosti  $k - 2$ . Tedy  $(G', \mathcal{C}')$  obsahuje podle indukčního předpokladu  $C_6^Z$  jako klastrový minor. A jelikož  $(G', \mathcal{C}')$  je minorem  $(G, \mathcal{C})$ , tak  $C_6^Z$  je i minorem  $(G, \mathcal{C})$ , čímž je důkaz hotov. (TODO doplnit o ilustrující obrázky)  $\square$

Nyní již můžeme dokázat hlavní větu této sekce

*Důkaz.* věty 1.1.

$\implies$

Pokud je  $(G, \mathcal{C})$  klastrově rovinný, tak podle lemmatu 1.4 je graf konfliktů bipartitní, což je ekvivalentní tomu, že graf konfliktů neobsahuje lichou kružnici, což je podle tvrzení 1.6 dává, že  $(G, \mathcal{C})$  neobsahuje  $C_6^Z$  jako minor.

$\impliedby$

Dokazujeme sporem, tedy  $(G, \mathcal{C})$  není klastrově rovinný, ale neobsahuje  $C_6^Z$  jako minor. Podle lemmatu 1.4 není graf konfliktů bipartitní, tedy obsahuje lichou kružnici, což podle tvrzení 1.6 říká, že  $(G, \mathcal{C})$  má jako minor  $C_6^Z$ , což je spor s tím, že jsme předpokládali, že takový minor nemá.  $\square$

## 1.2 Cesty s klastry velikosti 2

Pro cesty uvedeme o něco slabší výsledek, a to že zakázaných minorů je konečně mnoho.

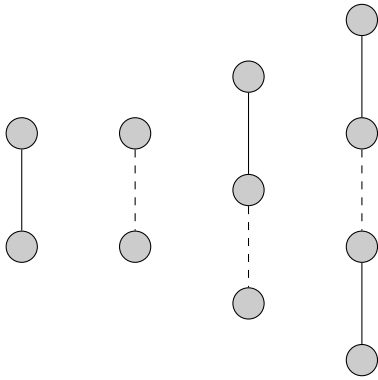
**Věta 1.7.** *Zakázaných minorů pro cesty s klastry velikosti 2 je konečně mnoho.*

*Důkaz.* Mějme klastrový graf  $(G[V, E], \mathcal{C})$ . Vezměme saturátor  $S$  a zkoumejme graf  $(G[V, E \cup S])$ . V tomto grafu mají vrcholy stupeň nejvýše 3. Tudíž zde nemůže být dělení  $K_5$ , ale může být dělení  $K_{3,3}$ . (TODO příklad klastrové cesty s dělením  $K_{3,3}$ ) Jako minor zde mohou být obě možnosti bránící rovinnosti. Nám ale stačí, že když graf má dělení  $K_{3,3}$ , tak má i příslušný minor  $K_{3,3}$ .

Stačí se ptát, jak vypadají spojnice v dělení  $K_{3,3}$  a jak je můžeme zredukovat pomocí minorových operací. Pomocí minorových operací dosáhneme nejprve, že se zbavíme všeho nepotřebného, tedy vrcholů, hran a klastrů (resp. saturovaných hran) nepodílejících se na dělení  $K_{3,3}$ . Dále si spojnice

125 zjednodušíme do podoby takové, že to jsou cesty, kde se střídají hrany a  
 126 klastry. Pokud totiž máme na spojnici více hran za sebou, tak pomocí kon-  
 127 trakcí se zbavíme nadbytečných hran. Nyní tvrdíme, že spojnice dokážeme  
 128 zredukovat pomocí minorových operací do jedné z následujících 4 typů:

- 129 1) jedna hrana
- 130 2) jeden klaster
- 131 3) klaster a hrana
- 132 4) hrana, klaster a hrana



Obrázek 1.3: Typy spojnic v dělení  $K_{3,3}$ . Plná čára představuje hranu, čárkovaná znamená klaster.

133 Toho dosáhneme následovně. Pokud máme na spojnici následující situaci,  
 134 že máme klaster  $K_1 = \{x, y\}$ , hranu  $e = \{y, z\}$  a klaster  $K_2 = \{z, w\}$  za sebou  
 135 viz obrázek 1.4, tak sjednotíme klastry  $K_1$  a  $K_2$ . Ty spojuje právě jedna  
 136 hrana, takže sjednocení můžeme provést bez problémů. Nyní jen vyhodíme  
 137 vrcholy  $y$  a  $z$  a zbyde nám jen klaster  $\{x, w\}$ . Opakováním tohoto postupu,  
 138 každou spojnici zredukujeme na jeden z čtyř výše uvedených typů. Grafů,  
 139 jenž jsou dělením  $K_{3,3}$  a mají tyto typy spojnic, je konečně mnoho  $\square$



Obrázek 1.4: Hledaná struktura, která jde zjednodušit pomocí minorových operací